

استفاده از سیستم بینایی ماشین در ارزیابی تولوژیک دو مخمر آنتاگونیست در تلفیق با سیلیکون علیه کپک آبی میوه‌ی سیب

لیلا فراهانی^۱، حسن رضا اعتباریان^۱، حدیث محسنی تکلو^۲، حشمت‌الله امینیان^۱، نواز‌الله صاحبانی^۱

۱- گروه گیاه‌پزشکی، پردیس ابوریحان، دانشگاه تهران، ایران

۲- دانشکده‌ی مهندسی کامپیوتر، دانشگاه صنعتی شریف، تهران، ایران

مسئول مکاتبات: لیلا فراهانی، lfarahani@alumni.ut.ac.ir

تاریخ پذیرش: ۹۱/۱۰/۲۵

۱ (۱) ۲۹-۳۹

تاریخ دریافت: ۹۱/۶/۲۵

چکیده

در حال حاضر اندازه‌گیری شدت بیماری در مراکز پژوهشی با استفاده از وسایل دستی و یا از طریق مقیاس‌دهی چشمی بیان می‌شود. با گسترش چشم‌گیر علوم رایانه‌ای در اندازه‌گیری دقیق و سریع شدت بیماری، پژوهشی به منظور ارزیابی پتانسیل کنترل بیولوژیک دو مخمر (A6) *Candida membranifaciens* (A4) و *Pichia guilliermondii* (P1 و P2) از قارچ *Penicillium expansum* در دمای ۲۰°C غلظت‌های ۱٪، ۰.۵٪ و ۰.۳٪ و ترکیب آن‌ها در کنترل جدایه‌های A6 و A4 به طور معنی‌داری سبب کنترل کپک آبی درجه‌ی سلسیوس انجام گرفت. نتایج این پژوهش نشان داد که مخمرهای A4 و A6 به طور معنی‌داری سبب کنترل کپک آبی میوه‌ی سیب شدند. تلفیق این مخمرها با Si کنترل به مراتب بیشتر بیماری را در پی داشت. استخراج خصوصیات آماری از ناحیه‌ی بافت آلووده در کانال‌های قرمز R، سبز G و آبی B تصاویر دیجیتال آن‌ها نشان داد که میانگین آبی $R^2 = 0.70$ بیشترین اهمیت و احراف معیار سبز با $R^2 = 0.43$ کمترین اهمیت را در شناسایی گروه‌های آماری شدت بیماری داشتند. تحلیل تشخیص خطی با استفاده از صفات میانگین آبی، میانگین سبز، احراف معیار آبی، احراف معیار قرمز، ضربی کشیدگی سبز، احراف معیار سبز سبب شناسایی گروه‌های آماری شدت بیماری با دقت ۸۰٪ شد. نتایج کلی این پژوهش نشان می‌دهد که رنگ توصیف گر قدرتمندی است که می‌توان از آن برای اندازه‌گیری شدت بیماری و اندازه‌گیری میزان کنترل کنندگی بیماری کپک آبی میوه‌ی سیب (در مقایسه با شاهد) بهره گرفت.

واژه‌های کلیدی:

سیستم بینایی ماشین با افزودن یک دوربین دیجیتال به رایانه به وجود می‌آید. با این اتصال نجاست تصاویر اجسام مورد نظر به‌وسیله دوربین گرفته شده و سپس به صورت یک ماتریس اعداد در حافظه‌ی کامپیوتر ذخیره می‌شود. این تصاویر حاوی اطلاعات بسیار زیاد و ارزشمندی از خواص مورفولوژیکی، مرتبط با انواع کانال‌های رنگی و نیز طیف بافتی می‌باشند. سپس این تصاویر با استفاده از برنامه‌های مختلف رایانه‌ای پردازش شده و در نهایت اطلاعات کمی و کیفی از آن‌ها به دست می‌آید. در واقع سیستم بینایی ماشین از طریق آنالیز تصویر روشنی مطمئن برای دستیابی به

مقدمه

در حال حاضر اندازه‌گیری شدت بیماری در مراکز پژوهشی با استفاده از وسایل دستی نظیر خطکش و کولیس و یا از طریق مقیاس‌دهی چشمی بیان می‌شود. اندازه‌گیری به این شیوه بسیار وقت‌گیر بوده و زمینه‌ی ذهنی، تجربه، دقت و دیگر محدودیت‌های فیزیکی در تعیین اندازه‌گیری تأثیرگذار است. از طرفی با گسترش چشم‌گیر علوم و فن آوری رایانه‌ای، و امکان استفاده از این دستگاه در اندازه‌گیری کمیت‌های فیزیکی، رنگی و بافتی محصولات، استفاده هر چه بیشتر از این فن آوری ضروری به نظر می‌رسد.

برداشت سیب در انبار می باشد (Pierson *et al.*, 1971) در این بیماری مناطق پوسیده، نرم، آبکی و به رنگ قهوه‌ای روشن تا تیره می شوند. سطح پوسیدگی های قدیمی‌تر توسط یک لایه سفید رنگ پوشیده می شود که این لایه اسپور به تدریج به رنگ سبزآبی در می آید. لکه‌های بیماری از لحاظ بافت و رنگ از قسمت‌های سالم کاملاً قابل تشخیص و متمایزند. لکه‌ی حاصل از بیماری روی میوه سیب گاهی دایره‌ی کامل نمی باشد و حتی در آلودگی‌های شدید، این ناحیه محدب می باشد.

کنترل بیولوژیک از طریق کاربرد عوامل باکتریایی، قارچی و مخمری آنتاگونیست یکی از روش‌های موفق در کنترل بیماری‌های پس از برداشت بوده که به عنوان روش جایگزین قارچکش‌های سنتری در انبار مورد بررسی قرار گرفته است (Wilson & Wisniewski, 1989). مخمرها با داشتن ویژگی‌هایی چون عدم تولید مایکوتوكسین‌ها، داشتن نیازهای غذایی ساده، دامنه‌ی تحمل بالا نسبت به تغییرات درجه‌ی حرارت، سرعت رشد بالا در سوبستراهای با ارزش غذایی کم، و هم‌چنین دارابودن مقادیر زیادی ویتامین، عناصر معدنی و هم‌چنین تاثیرات مفید آن‌ها در تغذیه به عنوان یکی از عوامل بیوکنترل موفق در کنترل بیماری‌های Drugefors, بعد از برداشت مورد توجه قرار گرفته‌اند (Lima *et al.*, 1998). افزایش عملکرد این میکرووارگانیسم‌ها با سایر عوامل کنترلی از دیگر ویژگی‌های مثبت مخمرها در سیستم‌های کنترل تلفیقی می باشد (El-Ghaouth *et al.*, 2000). افزایش عملکرد این میکرووارگانیسم‌ها با سایر عوامل کنترلی از دیگر ویژگی‌های مثبت مخمرها در سیستم‌های کنترل تلفیقی می باشد (El-Ghaouth *et al.*, 2000). فند 2-deoxy-D-glucose (Farahani & Etebarian, 2012)، اسید سالیسیلیک (Farahani *et al.*, 2012)، متیل جاسمونات سیلیکون (Yao & Tian 2005)، یکربنات سدیم (Yao *et al.* 2004) تلفیق کرده‌اند.

در حال حاضر ارزیابی شیوه‌ی کنترل اتخاذ شده و کارآبی عوامل آنتاگونیست در کنترل بیماری کپک آبی سیب بر اساس مساحت لکه‌ی آلدوده ایجاد شده روی میوه

اطلاعات زیاد از یک عکس دیجیتال می باشد که این اطلاعات به صورت دقیق، هدفمند، کمی و با سرعت بالا به دست می آیند (Nilson, 1995).

تحقیقات زیادی در زمینه‌ی کاربرد بینایی ماشین در دانش بیماری‌شناسی گیاهی موجود است. Suzuki *et al.*, (2006) به بررسی شکل سلول مخمری، نحوه‌ی جوانهزنی، شکل هسته و موقعیت هسته در درون سلول و نیز توزیع آکتین در مخمرهای *Saccharomyces cerevisiae* و *Schizosaccharomyces pombe* با استفاده از تکنیک F-CalMorph تصویر و با استفاده از نرم افزارهای CalMorph & Tucker (1997) از Chakraborty & Tucker (1997) پرداختند. تکنیک پردازش تصویر برای ارزیابی شدت بیماری سوختگی آلت‌ناریایی آفتابگردان و هم‌چنین زنگ برگ جو باعماق *Puccinia caronata* f.sp. *avenae* استفاده کردند. تعداد و اندازه لکه‌های ایجاد شده در اثر بیماری از طریق آنالیز عکس برگ محاسبه و با ارزیابی چشمی مقایسه شد. بر اساس نتایج آن‌ها ارتباط خطی معنی‌داری بین دو روش در تعداد لکه‌های زنگ در برگ جو و هم‌چنین شدت بیماری سوختگی آلت‌ناریایی آفتابگردان وجود داشت. Ahmad *et al.*, (1999) از تکنیک پردازش تصویر برای طبقه‌بندی بذور سویای آلدوده به عوامل قارچی براساس خصوصیات RGB استفاده کردند. در تحقیقات آن‌ها بذور سالم سویا از بذور آلدوده به سه بیماری قارچی (*Alternaria spp.*, *Cercospora spp.*, *Fusarium spp.*) دو بیماری ویروسی soybean mosaic potyvirus (black) و soybean mosaic potyvirus (brown) و هم‌چنین بذور نارس سویا با میانگین دقت نسبی ۸۸٪ از یکدیگر تفکیک شدند. Bock *et al.*, (2008) به بررسی ارزیابی شدت بیماری شانکر مرکبات از طریق مشاهده‌ی بصری از طریق کارشناس و ارزیابی دقیق بیماری با استفاده از نرم افزار پردازش تصویر پرداختند. آن‌ها گزارش کردند ارزیابی شدت بیماری از طریق کارشناس در تعداد زیادی نمونه‌ی بیماری اغلب به سمت برآورده بیش از مقدار واقعی می باشد.

بیماری کپک آبی سیب با عامل *Penicillium expansum* Link یکی از مهم‌ترین بیماری‌های پس از

میلی لیتر آب مقطر سترون حاوی ۰/۰۵٪ (حجم به حجم) توئین ۲۰ غوطه‌ور گردیدند. سپس سوسپانسیون 1×10^5 کنیدی در هر میلی لیتر آب مقطر تهیه شد.

تهیه‌ی سوسپانسیون آنتاگونیست: در ارلن‌مایر ۲۵۰ میلی لیتری حاوی ۵۰ میلی لیتر از محیط (Nutrient Yeast Dextrose Agar) NYDA استریل یک لوپ از سلول‌های مخمر افزوده شد. ارلن‌ها به مدت ۴۸ ساعت روی شیکر با ۲۰۰ دور در دقیقه در دمای اتاق قرار گرفتند. سپس سلول‌های مخمر با سانتی‌فیوژ $\times 3000$ g به مدت ۱۰ دقیقه از محیط مایع جدا شده و دو بار با آب مقطر استریل شستشو داده شد (El-Ghaouth *et al.*, 1998). پس از آن با استفاده از لام هماسیوتومتر سلول‌های مخمری شمارش و سوسپانسیون مخمرها در غلظت 10^8 سلول در میلی لیتر تهیه گردید.

سیلیکون (Si) به فرم سیلیکات‌های سدیم از شرکت Sigma خریداری شد. سیلیکون در آب حل شده، با استفاده از فیلتر میکروپور (ساخت شرکت Starius) استریل و سپس با استفاده از آب مقطر استریل در غلظت‌های ۰/۱، ۰/۳ و ۰/۵٪ وزن/حجم تهیه گردید.

بررسی تأثیر مخمرهای آنتاگونیست در تلفیق با غلظت‌های مختلف Si در کنترل کپک آبی سیب: میوه‌ی سیب رقم گلدن دلیشن در اندازه‌های یکسان، کاملاً سالم و بدون هیچ گونه عارضه‌ی فیزیولوژیک تهیه شد. برای ضدغوفونی سطحی، میوه‌ها در هیپوکلریت سدیم ۱٪ غوطه‌ور شده و در نهایت به مدت ۵ ثانیه در الکل اتیلیک ۷۰ درصد شده و در نهایت به مدت ۵ ثانیه در آب مقطر استریل شست و شو داده غوطه‌ور شدند. سپس با استفاده از یک سوزن استریل روی هر میوه سه چاهک به قطر ۲/۵ میلی‌متر و عمق ۳ میلی‌متر ایجاد گردید. هر چاهک با ۲۰ میکرولیتر از ۱) سوسپانسیون مخمر A4 ۲) سوسپانسیون مخمر A6 ۳) Si در غلظت‌های Si ۴) سوسپانسیون مخمر A4 در تلفیق با در غلظت‌های ۰/۱، ۰/۳ و ۰/۵٪ سوسپانسیون مخمر A6 در تلفیق با Si در غلظت‌های ۰/۱، ۰/۳ و ۰/۵٪ و ۶) آب مقطر استریل تیمار شد. سیب‌های تیمار شده در داخل ظروف پلاستیکی گذاشته و درون کيسه‌ی پلاستیکی قرار

سیب قابل سنجش است. از آنجا که اندازه‌گیری تعداد زیادی نمونه‌ی سیب به طور دستی و با استفاده از کولیس، کاری وقت‌گیر و خسته‌کننده می‌باشد، بنابراین یافتن راهی به منظور خود کار کردن فرآیند ارزیابی شدت بیماری ضروری به نظر می‌رسد. این تحقیق اولین گزارش از کاربرد بینایی ماشین و هوش مصنوعی در اندازه‌گیری شدت بیماری می‌باشد. با توجه به کارآیی سیستم بینایی ماشین در اندازه‌گیری ویژگی‌های رنگی و نیز مساحت ناحیه‌ی آلووده میوه‌ی سیب اهداف این تحقیق شامل ارزیابی پتانسیل کنترل بیولوژیکی دو مخمر A6 *P. guilliermondii* و *C. membranifaciens* (A4) به تنهایی و در ترکیب با سطوح مختلف سیلیکون در کنترل کپک آبی سیب در دمای ۲۰ درجه‌ی سلسیوس و نیز تشخیص شدت آلوودگی در میوه‌های سیب با توجه به ویژگی‌های رنگی RGB ناحیه‌ی آلووده می‌باشد.

مواد و روش‌های پژوهش

میوه‌ی سیب: جهت انجام آزمایشات، میوه‌های سیب رقم Golden Delicious از میدان‌های میوه و ترهبار شهرستان پاکدشت تهیه شد. سیب‌های انتخاب شده بدون هرگونه زخم، لهیدگی و یا سوراخ بودند.

انتخاب جدایه‌ی قارچ عامل بیماری و مخمر آنتاگونیست: دو جدایه‌ی قارچ *Penicillium expansum* و *Pichia guilliermondii* A6 P1، P2 و دو جدایه‌ی مخمر A4 از آزمایشگاه *Candida membranifaciens* به بیماری‌شناسی پردیس ابوالیان دانشگاه تهران دریافت گردید. قدرت بیماری زایی جدایه‌ی قارچی با استفاده از تست بیماری زایی تعیین شد. قابلیت آنتاگونیستی این دو مخمر نیز در کنترل کپک آبی میوه‌ی سیب بررسی و به عنوان دو جدایه‌ی کارا و مؤثر گزارش گردید (Gholamnejad, 2009).

تهیه‌ی سوسپانسیون قارچ عامل بیماری: از کشت ۷-۱۰ روزه‌ی قارچ عامل بیماری جهت تهیه‌ی سوسپانسیون استفاده شد. یک لوپ از اسپور قارچ عامل بیماری در ۱۰

مقدار خاکستری کمتر از آستانه، ROI را تشکیل داده و بقیه به عنوان پس زمینه در نظر گرفته شدند که نتیجه آن ایجاد یک تصویر باینری (سفید و سیاه) بود (شکل ۱-د). در پایان، خصوصیات آماری میانگین (Average)، انحراف معیار (Standard Deviation)، ضریب چولگی (Skewness) و ضریب کشیدگی (Kurtosis) از ناحیه باینری در تصاویر RGB استخراج شد. در مدرنگی (شکل ۲)، تمام رنگ‌ها از ترکیب سه رنگ پایه‌ی قرمز (R)، سبز (G) و آبی (B) ساخته می‌شوند که به هر رنگ پایه‌ی عددی بین ۰ تا ۲۵۵ اختصاص می‌یابد.

آنالیز آماری داده‌های به دست آمده با استفاده از نرم افزار SAS ver.9 انجام شد. ابتدا داده‌های به دست آمده مورد تجزیه‌ی واریانس فوار گرفتند. سپس تیمارها با استفاده از آزمون چند دامنه‌ای دانکن در سطح احتمال ۵ درصد مقایسه گردیدند. سپس گروه‌های به دست آمده به عنوان گروه‌های بیماری‌زا در نظر گرفته شده و تیمارهای مربوط به هر گروه به عنوان تکرارهای گروه در نظر گرفته شدند. به منظور تشخیص گروه‌های بیماری‌زا با استفاده از آنالیز عکس آنها، از روش آنالیز تشخیص خطی فیشر و با روش گام به گام (stepwise discriminant) استفاده گردید. در این خصوص تعداد نمونه‌های هر گروه به دو دسته داده‌های آموزشی^۱ و داده‌های آزمایشی^۲ تقسیم شدند که از داده‌های دسته اول برای آزمودش سیستم و از داده‌های دسته دوم برای آزمون کارآیی سیستم استفاده شده است (جدول ۱). در مرحله‌ی اول صفات مهم و تأثیرگذار در کارشناسی‌با استفاده از رویه‌ی stepdiscr SAS و براساس روش Wilks' Lambda در شناسایی داشتند حذف شدند. این کاهش خواص ساختاری باعث کم شدن محاسبات و کاهش پیچیدگی روابط در حین تشخیص گونه‌ها گردید. سپس تحلیل تشخیص خطی (LDA) براساس این خصوصیات انجام گرفت.

^۱ Data Training

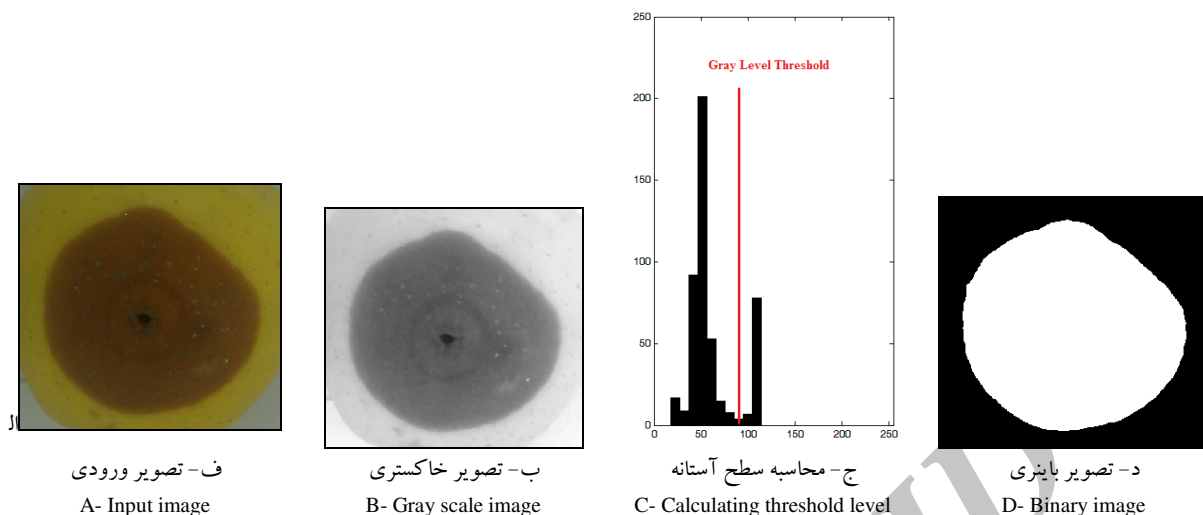
^۲ Data Test

داده شدند. هر تیمار دارای چهار تکرار بود. با اسپری کردن آب استریل در درون کیسه‌ها رطوبت‌نسبی داخل آنها در سطح بالایی (حدود ۹۵ درصد) نگه داشته شد (Vero et al., 2002). پس از ۲۴ ساعت به درون هر چاهک ۲۰ میکرولیتر از سوسپانسیون قارچ عامل بیماری مایه‌زنی شده و سپس سیب‌ها در انکوباتور با دمای ۲۰ درجه‌ی سلسیوس به مدت ۱۵ روز نگهداری شدند.

آنالیز تصویر: در پایان روز پانزدهم از بافت آلوهه سیب‌ها با استفاده از دوربین دیجیتال عکسبرداری شد (شکل ۱ الف). به منظور کاهش نویز و اثرات نور محیط از یک جعبه با ابعاد ۳۴×۳۴×۳۴ سانتی‌متر مکعب با نور تنظیم شده استفاده گردید. نور سیستم توسط یک لامپ فلوروستن گرد و دو لامپ فلوروستن موازی تأمین شد. این جعبه دارای دریچه‌ای برای قرار دادن سیب‌ها در محل مخصوص خود بود. فاصله‌ی بین سطح تصویربرداری و دوربین در این جعبه قابل تنظیم بود. از یک دوربین دیجیتال با فاصله‌ی ۲۴ سانتی‌متر از سطح تصویربرداری استفاده شد. تصاویر تهیه شده با استفاده از جعبه ابزار پردازش تصویر نرم افزار Matlab 2008a آنالیز شدند.

استخراج ناحیه‌ی آلوهه: ناحیه‌ی مورد نظر که به اصطلاح (region of interest) roi نامیده می‌شود شامل ناحیه‌ای از بافت سیب است که در اثر آلوهه گی قهوه‌ای شده است (شکل ۱-الف). این ناحیه را می‌توان با قطعه‌بندی تصویر دیجیتال و طی مراحل زیر استخراج کرد: در مرحله‌ی اول تصویر رنگی ورودی به یک تصویر خاکستری تبدیل شد (شکل ۱-ب). در مرحله‌ی دوم سطح آستانه تصویر، بر اساس آنالیز هیستوگرام، محاسبه گردید. آستانه حدی از تصویر خاکستری می‌باشد که نمودار هیستوگرام را به دو بخش تقسیم می‌کرد. بخش اول با سطوح خاکستری کمتر به عنوان Region Of Interest (ROI) و بخش دیگر به طور کامل به عنوان پس زمینه شناسایی شد (شکل ۱-ج).

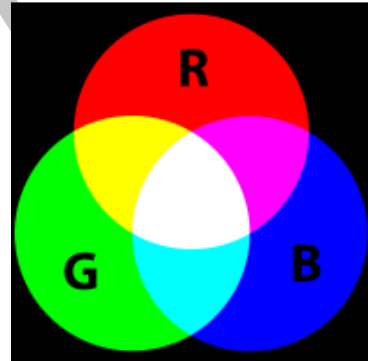
در مرحله‌ی سوم از آستانه‌ی محاسبه شده برای قطعه‌بندی تصویر ورودی استفاده شد. همه‌ی پیکسل‌ها با



شکل ۱- مراحل قطعه‌بندی و استخراج roi (region of interest)

Fig. 1. Segmentation steps and roi (region of interest) extraction.

سبب *P. guilliermondii* A6 و *C. membranifaciens* A4 کنترل بهتر بیماری حاصل از جدایه‌های P1 و P2 شد. تلفیق کردن مخمرهای A4 با سیلیکون در غلاظت‌های ۰/۰۵٪، ۰/۰۳٪ و ۰/۱٪ سبب بهبود چشم‌گیری در کاهش بیماری حاصل از جدایه‌های P1 شد و اختلاف معنی‌داری بین تلفیق Si با مخمر A4 در کنترل جدایه‌ی P2 مشاهده نگردید. هم‌چنین اختلاف معنی‌داری بین مخمر A6 در تلفیق با غلاظت‌های مختلف Si در کنترل جدایه‌های عامل بیماری مشاهده نگردید ($p < 0/05$) (شکل ۳). نتایج سایر محققین نیز نشان دهنده‌ی کارآبی مخمرهای آنتاگونیست در کنترل کپک آبی میوه‌ی سیب می‌باشد (Gholamnejad *et al.*, 2009; Teixido *et al.*, 1999) توانایی مخمرها در کنترل بیولوژیک بیماری‌ها را به رقابت مخمرها بر سر غذا و فضاء، تولید موادی مانند آنتی بیوتیک‌ها و نیز القای مقاومت نسبت داده‌اند (Droby *et al.* 1989).

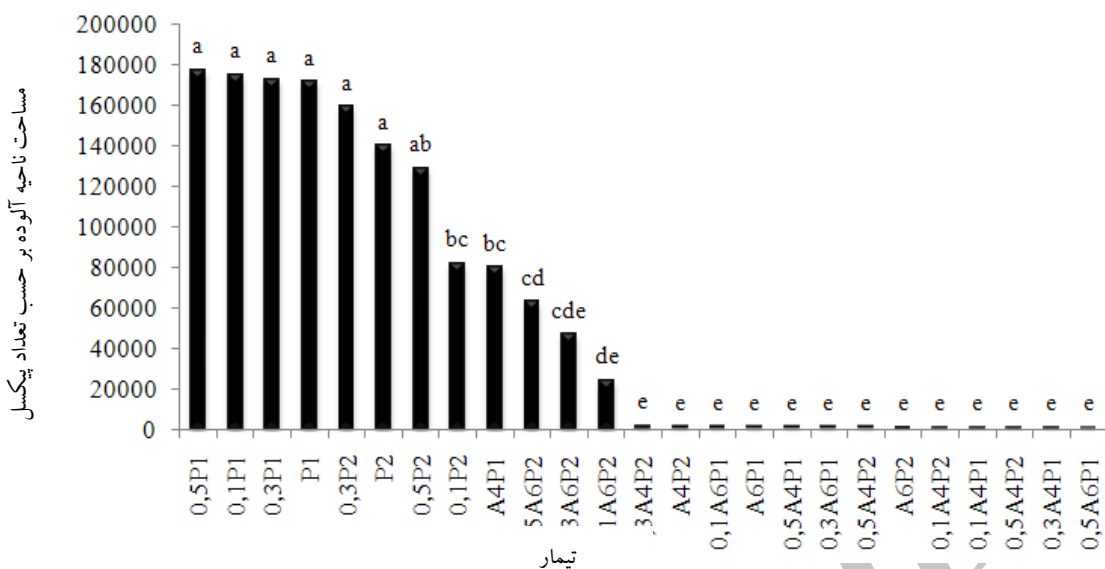


شکل ۲- فضای رنگی RGB

Fig. 2. RGB color space.

نتایج و بحث

نتایج این تحقیق نشان داد که تفاوت معنی‌داری بین تیمارهای آزمایشی در سطح ۱ درصد وجود داشت. مقایسه‌ی میانگین مساحت ناحیه‌ی آلدگی با استفاده از آزمون چند دامنه‌ای دانکن نشان داد که کاربرد سیلیکون به تنهایی تأثیر چندانی در کنترل بیماری کپک آبی نداشت. استفاده از مخمرهای آنتاگونیست



شکل ۳- مساحت ناحیه‌ی آلوده در سیب‌های تیمار شده با مخمرهای (A6) *Pichia guilliermondii*، (A4) *Candida membranifaciens*، Si در غلظت‌های ۰/۱٪، ۰/۳٪ و ۰/۵٪ و ترکیب آن‌ها در کنترل جدایه‌های P1 و P2 از قارچ *Penicillium expansum* در دمای ۲۰ درجه‌ی سلسیوس هر تیمار دارای چهار تکرار بود. بین حروف مشترک بر اساس آزمون چند دامنه‌ای دانکن تفاوت معنی‌دار وجود ندارد ($p<0.05$).

Fig. 3. Infected area apple treated with *Pichia guilliermondii* (A6), *Candida membranifaciens* (A4), Si at 0.1%, 0.3% and 0.5% and combination of them for control of *Penicillium expansum* P1 and P2 at 20 °C. There were four replicates for each treatment. There were no significant difference between the same letter according to Duncan multiple range test ($p<0.05$).

آبی سیب را نیز به توان به ناهمسانی زمان جوانه‌زنی اسپورهای قارچ عامل بیماری و القای مقاومت در میوه‌ی سیب در اثر تیمار با Si نسبت داد. هر چند تحقیقات بیشتری Si در این زمینه ضروری به نظر می‌رسد. تاثیر تلفیقی مخمرهای آنتاگونیست را نیز علاوه بر رقابت مخمرهای آنتاگونیست با قارچ عامل بیماری، تولید متابولیت‌های فرار و غیر فرار (Gholamnejad et al., 2009) می‌توان به فعال شدن آنتی‌بیوتیک‌های دفاعی مانند پراکسیداز و نیز ترکیبات فنولی نسبت داد (فراهانی، ۱۳۸۹). نتایج این تحقیق با نتایج Qin et al., (2005) مبنی بر کنترل کپک آبی میوه‌ی گیلاس در اثر تلفیق مخمر *Cryptococcus laurentii* با سیلیکون در غلظت ۱٪ منطبق می‌باشد. نتایج تحقیق حاضر مجموعه‌ی تیمارهای آزمایشی را در هفت گروه متایز ^a، ^b، ^{cde}، ^{cd}، ^{abc}، ^{de} و ^e قرار داد. به منظور تشخیص گروههای آماری با استفاده از ویژگی‌های رنگی ناحیه‌ی آلوده‌ی سیب، پس از استخراج ویژگی‌های میانگین،

سیلیکون در فرم Si(OH)_4 ، دارای وابستگی شدیدی با ترکیبات پلی هیدروکسیل آلی می‌باشد، مانند فنول‌های ارتو-، کـ₄ در سنتز لیگنین شرکت دارند (Inanaga et al. 1995) در رابطه با فعال شدن آنتی‌بیوتیک‌های دفاعی میوه‌ی سیب به دنبال مایه‌زنی با سیلیکون گزارش نموده است (Farahani, 2011). نتایج این تحقیق هم‌چنین نشان دهنده عدم کارآبی سیلیکون به تنهایی در کنترل کپک آبی میوه‌ی سیب بود، ولی اثر تلفیقی این عنصر در ترکیب با مخمرهای آنتاگونیست، به مراتب بهتر از کاربرد سیلیکون و مخمر تنها بود. در این راستا (Yu et al., 2007) در بررسی عدم کارآبی اسید سالیسیلیک در کنترل کپک آبی سیب به این نکته اشاره کردند که زمان جوانه‌زنی اسپورهای *P. expansum* قبل از فعال شدن مقاومت القایی در اثر اسید سالیسیلیک می‌باشد. به نظر می‌رسد که عدم کنترل کنندگی Si در کنترل کپک

شناسایی شدند. کاربرد این چهار صفت در مجموع سبب شناسایی گروه‌ها با میانگین دقت نسبی ۷۷٪ شد که نسبت به کاربرد دو صفت که با میانگین دقت نسبی ۵۲٪ شناسایی شده بودند، ۲۰٪ افزایش نشان داد (جدول ۳).

جدول ۲- تحلیل تشخیص خطی گروه‌های بیماری‌زا براساس دو صفت اول از جدول ۱ و با استفاده از آنالیز .discrim

Table 2- Linear discriminant analysis of infected groups according the two first adjective of table 1 using discrim procedure.

	a	ab	bc	cd	cde	de	e
a	66.67%	0	22.22%	0	0	11.11%	0
ab	50%	0	0	0	0	50%	0
bc	0	0	50%	50%	0	0	0
cd	0	0	50%	0	0	50%	0
cde	0	0	0	0	100%	0	0
de	0	0	0	50%	0	50%	0
e	0	0	0	0	0	0	100%

جدول ۳- تحلیل تشخیص خطی گروه‌های بیماری‌زا بر اساس چهار صفت اول از جدول ۱ و با استفاده از آنالیز .discrim

Table 3. Linear discriminant analysis of infected groups according the four first adjective of table 1 using discrim procedure.

	a	ab	bc	cd	cde	de	e
a	55.56%	11.11%	22.22%	0	0	11.11%	0
ab	0	50%	0	50%	0	0	0
bc	0	0	100%	0	0	0	0
cd	0	0	50%	50%	0	0	0
cde	0	0	0	0	100%	0	0
de	50%	0	0	0	0	50%	0
e	0	0	0	0	0	0	100%

شناسایی گروه‌های بیماری‌زا براساس مجموع شش صفت از جدول ۱ (میانگین آبی، میانگین سبز، انحراف معیار آبی، انحراف معیار قرمز، ضریب کشیدگی سبز و انحراف معیار سبز) نشان‌دهنده دقت ۶۶/۶۷٪ (۱۰۰٪، ۱۰۰٪، ۵۰٪، ۱۰۰٪، ۱۰۰٪ و ۱۰۰٪) به ترتیب برای هریک از گروه‌ها با میانگین دقت نسبی ۸۰٪ شناسایی شدند. کاربرد این شش

انحراف معیار، ضریب چولگی و ضریب کشیدگی از هر یک از کانال‌های رنگی قرمز، سبز و آبی، از رویه‌ی stepdisc برای تعیین اهمیت صفات در پروسه‌ی تشخیص استفاده گردید. نتایج آماری نشان داد که میانگین رنگی آبی با بیشترین مقدار $R^2 = 0.291$ و ASCC = ۰/۲۹۱ بیشترین تأثیر را در شناسایی گروه‌های آماری شدت بیماری داشتند و میانگین رنگ سبز، انحراف معیار رنگ آبی، انحراف معیار رنگ قرمز، ضریب کشیدگی رنگ سبز و انحراف معیار رنگ سبز به ترتیب در درجهات بعدی قرار گرفتند (جدول ۱).

جدول ۱- ترتیب صفات و اهمیت آن‌ها در شناسایی گروه‌های بیماری‌زا با استفاده از آنالیز stepdisc

Table 1. The adjectives and their importance in discrimination of infected groups using stepdisc procedure.

Average Squared Canonical Correlation (ASCC)	R^2	Feature	Step
0.291	0.70	Blue average	1
0.090	0.68	Green average	2
0.049	0.44	Blue standard deviation	3
0.026	0.46	Red standard deviation	4
0.011	0.56	Green kurtosis	5
0.006	0.43	Green standard deviation	6

تحلیل تشخیص خطی فیشر براساس صفات میانگین رنگ آبی و سبز سبب شناسایی گروه‌های بیماری کهک آبی با دقت شد. در این مرحله گروه‌های a، ab، bc، cd، cde و e به ترتیب با دقت‌های ۶۶/۶۷٪، صفر، ۱۰۰٪، ۵۰٪ و ۱۰۰٪ شناسایی شدند (جدول ۲).

تحلیل تشخیص خطی گروه‌های بیماری‌زا براساس چهار صفت از جدول ۱ (میانگین آبی، میانگین سبز، انحراف معیار آبی و انحراف معیار قرمز) انجام شد و نتایج حاصله نشان داد که گروه‌های a، ab، bc، cd، cde و e به ترتیب با دقت‌های ۵۵/۵۶٪، ۱۰۰٪، ۱۰۰٪، ۵۰٪ و ۱۰۰٪، ۱۰۰٪ و ۱۰۰٪ شناسایی شدند.

کمی و یکسان برای همه نمونه‌ها روشی نوین در بیماری‌شناسی گیاهی به کار رود. تحقیقات سایر محققین نیز نشان‌دهنده‌ی اهمیت و دقت این تکنیک در تحقیقات بیماری‌شناسی می‌باشد. مثلاً Bock *et al.*, (2008) با ارزیابی بیماری شانکر مرکبات از طریق مشاهده و روش مقیاس‌دهی و همچنین ارزیابی دقیق با استفاده از نرم‌افزارهای پردازش تصویر بیان کردند که تفاوت‌هایی در این دو روش وجود داشته و در مشاهده و مقیاس‌دهی اغلب شدت بیماری بیشتر از حد معمول گزارش شده‌است. به نظر می‌رسد در روش مقیاس‌دهی در تعداد زیادی نمونه به علت ایجاد خطای چشم روند یکسانی را برای کل نمونه‌ها رعایت نشود. براساس اطلاعات ما این تحقیق اولین گزارش از کاربرد آنالیز تصویر در تحقیقات بیماری‌شناسی گیاهی می‌باشد. برای تحقیقات تکمیلی، مطالعه کانال‌های رنگی دیگر، بهبود شرایط تصویربرداری و نورپردازی در جهت کاهش نویز تصاویر و نیز استفاده از روش‌های تشخیص و گروه‌بندی شبکه‌ای عصبی در راستای حصول دقت بالاتر، پیشنهاد می‌گردد.

صفت سبب افزایش ۸۰٪ در میانگین دقت‌نمایی شناسایی گونه‌ها شد (جدول ۴).

جدول ۴- تحلیل تشخیص خطی گروه‌های بیماری‌زا براساس شش صفت اول از جدول ۱ و با استفاده از آنالیز discrim.

Table 4. Linear discriminant analysis of infected groups according the six first adjective of table 1 using discrim procedure

	a	ab	bc	cd	cde	de	e
a	66.67%	11.11%	22.22%	0	0	0	0
ab	0	100%	0	0	0	0	0
bc	0	0	100%	0	0	0	0
cd	0	0	50%	50%	0	0	0
cde	0	0	0	0	100%	0	0
de	0	0	0	0	0	100%	0
e	0	0	0	0	0	0	100%

نتایج به دست آمده از این تحقیق نشان‌دهنده‌ی قدرتمندی ابزار پردازش تصویر در استخراج اطلاعات زیاد از یک عکس دیجیتال می‌باشد. بر اساس نتایج، رنگ بافت آلوهه یک ابزار قوی در تشخیص شدت بیماری‌ها بوده که می‌تواند با صرفه‌جویی در وقت و نیز استخراج داده‌های

References

- Ahmad, I. S., Reid, J. F., Paulsen, M. R., & Sinclair, J. B. 1999. Color classifier for symptomatic soybean seeds using image processing. Plant Disease. 83: 320-327.
- Bock, C. H., Parker, P. E., Cook, A. Z., & Gottwald, T. R. 2008. Characteristics of the perception of different severity measures of citrus canker and the relationships between the various symptom types. Plant Disease. 92: 927- 939.
- Droby, S., Chalutz, E., Wilson, C.L., & Wisniewski, M., 1989. Characterization of the biocontrol activity of *Debaryomyces hansenii* in the control of *Penicillium digitatum* on grapefruit. Canadian Journal of Microbiology. 35: 794–800.
- Druvefors, U. A. 2004. Yeast biocontrol of grain spoliage moulds—mode of action of *Pichia anomala*. Doctor's dissertation, performed at the Department of Microbiology Swedish University of Agri Sci., 44pp.
- El Ghaouth, A., Smilanick, J. L., Brown, G. E., Ippolito, A., Wisniewski, M., & Wilson, C. L. 2000a. Application of *Candida saitoana* and glycolchitosan for the control of postharvest diseases of apple and citrus fruit under semi-commercial conditions. Plant Disease. 84: 243-248.

- El-Ghaouth, A., Smilanick, J. L., Wisniewski, M., & Wilson, C. L. 2000b.** Improved control of apple and citrus fruit decay with a combination of *Candida saitoana* and 2-deoxy-D-glucose. *Plant Disease*. 84: 249-253.
- El-Ghaouth, A., Wilson, C. L., Wisniewski, M. 1998.** Ultrastructural and cytochemical aspects of the biological control of *Botrytis cinerea* by *Candida saitoana* in apple fruit. *Phytopathology*. 88: 282-291
- Farahani, L. 2011.** Studies of the combination of salicylic acid and silicon with antagonistic yeasts to control of apple blue mold in storage and possible mechanisms involved. M.Sc. dissertation, University of Tehran. P 97. (In Persian with English summary).
- Farahani, L., & Etebarian, H. R. 2012.** Enhancement of the efficacy of two antagonistic yeasts with salicylic acid against *Penicillium expansum*. Achieves of Phytopathology and Plant Protectection. 45: 260-267.
- Farahani, L., Etebarian, H. R., Sahebani, N., & Aminian, H. 2012.** Biocontrol of blue mould of apple by *Candida membranifaciens* in combination with silicon. Achieves of Phytopathology and Plant Protectection. 45: 310-317
- Gholamnejad, J. 2009.** Studies on biological control of blue mold in apple by some yeast isolates and their mechanisms of antagonism. M.Sc. dissertation, University of Tehran. P 152. (In Persian with English summary).
- Gholamnejad, J., Etebarian, H. R., & Sahebani, N. 2009.** Biological control of apple blue mold with *Candida membranifaciens* and *Rhodotorula mucilaginosa*. *African Journal of Food. Science*. 4(1): 001-007.
- Inanaga, S., Okasaka, A., & Tanaka, S. 1995.** Does silicon exist in association with organic compounds in rice plant? *Soil Science and Plant Nutrition*. 41: 111-117.
- Lima, G., De Curtis, F., Castoria, R. De Cicco, V. 1998.** Activity of the yeasts *Cryptococcus laurentii* and *Rhodotorula glutinis* against post-harvest rots on different fruits. *Biocontrol Science and Technology*. 8: 257-267.
- Nilsson, H. E. 1995.** Remote sensing and image analysis in plant pathology. *Canadian Journal of Plant Pathology*. 17:154-166.
- Pierson. C. F., Leponis, M. J., & McColloch, L. P. 1971.** Market diseases of apples, pears and quince. U.S. Dep. Agric., Agric. Handb. Vol. 376. U. S. Govt. Printing Office, Washington, DC.
- Suzuki, G., Sawai, H., Ohtani, M., Nogami, S., Sano-Kumagai, F., Saka, A., Yukawa, M., Saito, T. L., Sese, J., Hirata, D., Morishita, S., & Ohya, Y., 2006.** Evaluation of image processing programs for accurate measurement of budding and fission yeast morphology. *Current Genetics*. 49: 237–247.
- Teixido, N., Usall, J., & Vinas, I. 1999.** Efficacy of preharvest and postharvest *Candida sake* biocontrol treatment to prevent blue mold on apples during cold storage. *Food Microbiology*. 50: 302-210.
- Tucker C. C., & Chakraborty S. 1997.** Quantitative assessment of lesion characteristics and disease severity using digital image processing. *Phytopathology*. 145: 273-278.
- Vero, S., Mondino, P., Burgaeno, J., Soubes, M., & Wisniewski, M. 2002.** Chracterizatioin of biological activity of two yeast strains from Uruguay against blue mold of apple. *Postharvest biology and Technology*. 26: 91-98.
- Wilson, C. L., & Wisniewski, M. E. 1989.** Biological control of postharvest diseases of fruits and vegetables an emerging technology. *Annual Review of Phytopathology*. 27: 425-441.

- Yao, H., Tian, S., & Wang, Y. 2004.** Sodium bicarbonate enhances biocontrol efficacy of yeasts on fungal spoilage of pears. International Journal of Food Microbiology. 93: 297–304.
- Yao, H. J., & Tian, S. P. 2005.** Effects of a biocontrol agent and methyl jasmonate on postharvest diseases of peach fruit and the possible mechanisms involved. Journal of Applied Microbiology. 98: 941– 950.
- Yu, T., Li, H. Y., & Zheng, X. D. 2007.** Synergistic effect of chitosan and *Cryptococcus laurentii* on inhibition of *Penicillium expansum* infections. International Journal of Food Microbiology. 114: 261–266.

Archive of SID

Use of machine vision system for evaluation of biocontrol potential of two antagonistic yeasts in combination with silicon against blue mold of apple fruit

Leila Farahani¹, Hasan Reza Etebarian¹, Hadis Mohseni Takallou², Heshmatolah Aminian¹, Navazolah Sahebani¹

1- Plant Protection Department, Aboureihan Campus, University of Tehran, Tehran, Iran

2- Computer Engineering Department, Sharif University of Technology, Tehran, Iran

Corresponding author: Leila Farahani, lfarahani@alumni.ut.ac.ir

Received: Sep. 15, 2012

1 (1) 29-39

Accepted: Jan. 14, 2013

Abstract

Plant diseases severity is presently evaluated using manual tools such as ruler, digital ruler or by scaling. Extending the great potential of computer science in accurate and rapid determination of disease severity, this study was conducted to evaluate biological control potential of two yeasts, *Pichia guilliermondii* (A6) and *Candida membranifaciens* (A4) in combination with silicon (Si) at 0.1%, 0.3% and 0.5% for controlling *Penicillium expansum* P1 and P2 at 20 °C. The results showed that antagonistic yeasts controlled blue mold of apple significantly. Combination of the yeasts with Si improved the control of blue mold in comparison with yeasts alone. Statistical information obtained from the infected area in RGB channels showed that blue average ($R^2=0.70$) was the most important and green standard deviation ($R^2=0.43$) was the least important factors in recognition of disease severity. Linear discrimination analysis using blue average, green average, blue standard deviation, red standard deviation, green kurtosis and green standard deviation separated the disease severity statistical groups with the accuracy of 80%. The overall results of this study suggest that the color could be a powerful descriptor which could be applied for determination of disease severity in apple blue mold.

Keywords: *Pichia guilliermondii* •*Candida membranifaciens* •*Penicillium expansum* •LDA